

LEGENDA

DEPOSITI DI VERSANTE

Coltri eluvio-colluviali
Depositi continentali di versante e di alterazione del substrato, costituiti da una singola litofacies a composizione argillo-limosa. Poggiano in contatto stratigrafico discordante sulle unità più antiche e risultano parzialmente eterotipi ai Depositi alluvionali attuali. Lo spessore massimo è di circa 8 m.

DEPOSITI PALUSTRIS

Depositi palustri recenti
Depositi continentali di palude d'acqua dolce con locali intercalazioni fluviali, costituiti da una singola litofacies a composizione argillo-limosa. Poggiano in contatto stratigrafico discordante sulle unità più antiche e risultano parzialmente eterotipi ai Depositi alluvionali recenti. Lo spessore massimo non è determinabile.

DEPOSITI ALLUVIONALI

Depositi alluvionali attuali
Depositi continentali di canale fluviale, argine e piana inondabile, costituiti da una singola litofacies a composizione ghiaioso-sabbiosa. Poggiano in contatto stratigrafico discordante sulle unità più antiche e risultano parzialmente eterotipi ai Coltri eluvio-colluviali. Lo spessore massimo è di circa 8 m.

DEPOSITI ALLUVIONALI TERRAZZATI
Depositi continentali di canale fluviale, argine, conide alluvionale, piana inondabile, lago di meandro e canale in fase di abbandono, costituiti da tre differenti litofacies a composizione ghiaioso-sabbiosa, sabbioso-limosa e limoso-argillosa. Poggiano in contatto stratigrafico discordante sulle unità più antiche e risultano parzialmente eterotipi ai Depositi palustri recenti. Lo spessore massimo è di circa 12 m.

UNITÀ DELLA CATENA APPENNINICO-MAGHREBIDE

DEPOSITI DI BACINI SATELLITE

Formazione di Cattolica
Depositi lagunari e di bacino evaporitico, costituiti da tre differenti litofacies a composizione calcareo-gessosa, gessoso-argillosa e argillo-terrestre. Poggiano in contatto stratigrafico discordante sulla Formazione Terzarchia. Lo spessore massimo è di circa 40 m.

Formazione Terravecchia
Depositi di piana fluvio-deltaica, depositi marini di piattaforma continentale, di scarpata, base scarpata e conide torbidaica costituiti da tre differenti litofacies a composizione argillo-marnosa, conglomerato sabbioso e argillo-brecciata. Poggiano in contatto stratigrafico discordante sul Flysch Numidico e sulle Argille Variegati.

Flysch Numidico
Depositi marini di scarpata, base scarpata e conide torbidaica, costituiti da due differenti litofacies a composizione argillo-marnosa e argillo-terrestre. Poggiano in contatto stratigrafico discordante sulla Formazione di Polizzi. Lo spessore massimo è di circa 400 m.

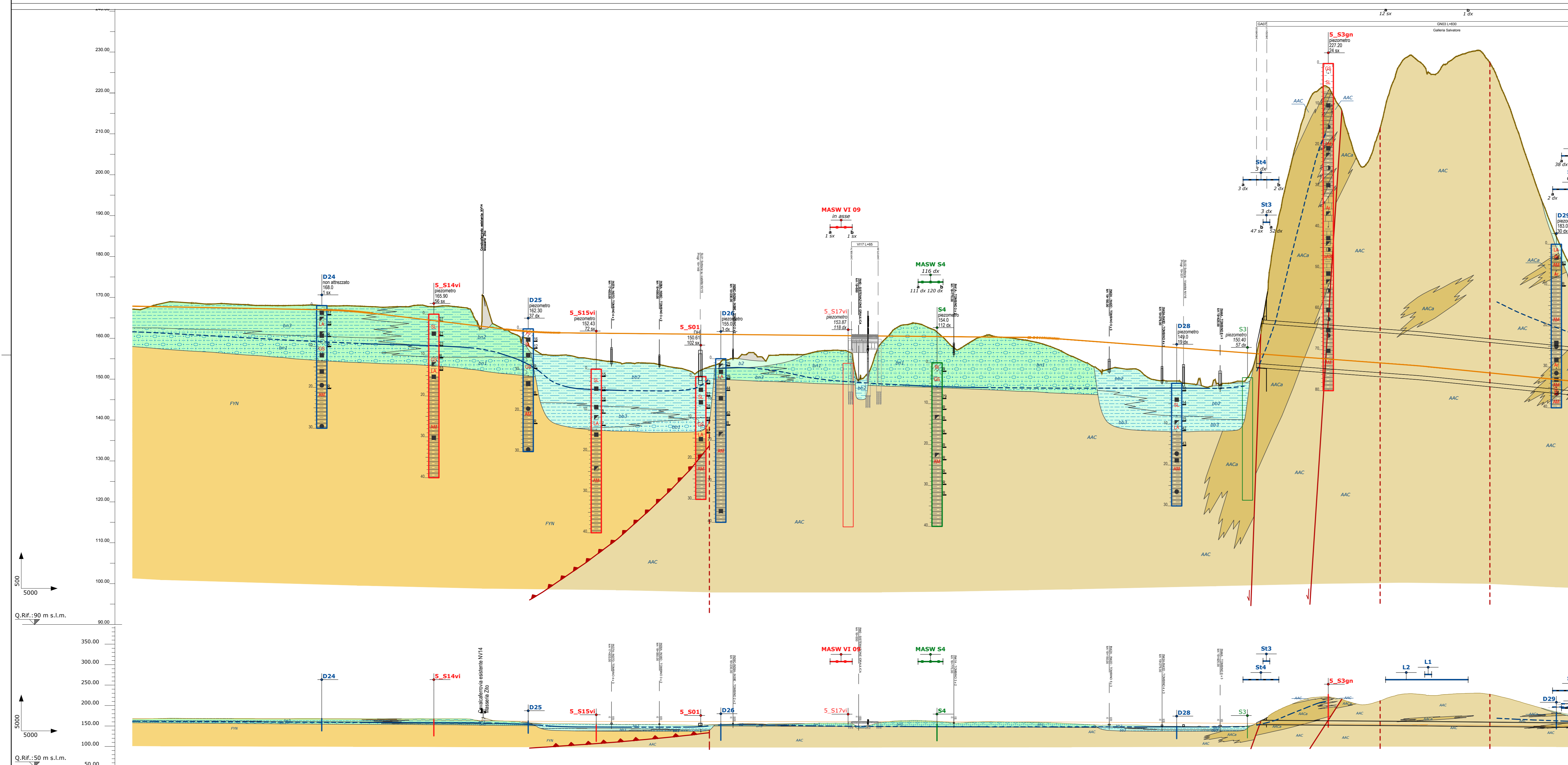
Argille Varicolori inferiori
Depositi marini di base scarpata e bacino pelagico, costituiti da una singola litofacies a composizione argillo-marnosa. Poggiano in contatto stratigrafico discordante su unità più antiche e risultano parzialmente eterotipi ai Depositi alluvionali attuali. Lo spessore massimo non è valutabile per l'eterogeneità della struttura scagliosa e sabbiosa.

UNITÀ SICILIDI

Argille e arenarie glauconitiche di Catenuova
Depositi marini di scarpata, base scarpata e conide torbidaica, costituiti da due differenti litofacies a composizione argillo-marnosa e argillo-terrestre. Poggiano in contatto stratigrafico discordante sulla Formazione di Polizzi. Lo spessore massimo è di circa 400 m.

UNITÀ IONIDI

Argille e arenarie glauconitiche di Catenuova
Depositi marini di scarpata, base scarpata e conide torbidaica, costituiti da due differenti litofacies a composizione argillo-marnosa e argillo-terrestre. Poggiano in contatto stratigrafico discordante sulla Formazione di Polizzi. Lo spessore massimo è di circa 400 m.



NUMERO SEZIONI	337	338	339	340	341	342	343	344	345	346	347	348	349	350	351	352	353	354	355	356	357	358	359	360	361	362	363	364	365	366	367	368	369	370	371	372	373	374	375	376	377	378	379	380	381	382	383	384	385	386	387	388	389	390	391	392	393	394	395	396	397	398	399	400	401	402	403	404	405	406	407	408	409	410
STAZIONE	337	338	339	340	341	342	343	344	345	346	347	348	349	350	351	352	353	354	355	356	357	358	359	360	361	362	363	364	365	366	367	368	369	370	371	372	373	374	375	376	377	378	379	380	381	382	383	384	385	386	387	388	389	390	391	392	393	394	395	396	397	398	399	400	401	402	403	404	405	406	407	408	409	410
STAZIONE	337	338	339	340	341	342	343	344	345	346	347	348	349	350	351	352	353	354	355	356	357	358	359	360	361	362	363	364	365	366	367	368	369	370	371	372	373	374	375	376	377	378	379	380	381	382	383	384	385	386	387	388	389	390	391	392	393	394	395	396	397	398	399	400	401	402	403	404	405	406	407	408	409	410
STAZIONE	337	338	339	340	341	342	343	344	345	346	347	348	349	350	351	352	353	354	355	356	357	358	359	360	361	362	363	364	365	366	367	368	369	370	371	372	373	374	375	376	377	378	379	380	381	382	383	384	385	386	387	388	389	390	391	392	393	394	395	396	397	398	399	400	401	402	403	404	405	406	407	408	409	410

Simbologia

Elementi idrografici
Corso d'acqua o canale
Specchio d'acqua

Elementi strutturali e tettonici
Limite stratigrafico, a tratteggio se presunto e/o sepolto
Giuntura degli strati a polarità sconosciuta
Giuntura degli strati inclinati
Faglia di cinematica sconosciuta, a tratteggio se presunto e/o sepolto
Faglia diretta, a tratteggio se presunto e/o sepolto
Sovrascorrimento, a tratteggio se presunto e/o sepolto

Forme poligeniche
Orlo di scarpata

Forme, processi e depositi gravitativi
Orlo di scarpata di degradazione
Necchia di frana di scivolamento
Necchia di frana di colamento
Necchia di frana complessa
Corpo di frana di scivolamento
Corpo di frana di colamento lento
Corpo di frana complessa
Deposito di frana
Piccola frana non fedelmente cartografabile
Corpo di frana di crollo non cartografabile
Soliflusso
Deformazione gravitativa di versante
Area a frangitura diffusa

Forme e processi dovuti alle acque correnti superficiali
Orlo di scarpata di erosione fluviale e torrentizia
Alveo con tendenza all'approfondimento
Solco di erosione concentrata
Area a canali
Conoidi alluvionale
Conoidi colluviale

Forme antropiche e manufatti
Rapporto antropico: rilevato ferroviario e/o stradale
Argine artificiale

Simbologia

Elementi idrografici
Corso d'acqua o canale
Specchio d'acqua

Elementi strutturali e tettonici
Limite stratigrafico, a tratteggio se presunto e/o sepolto
Giuntura degli strati a polarità sconosciuta
Giuntura degli strati inclinati
Faglia di cinematica sconosciuta, a tratteggio se presunto e/o sepolto
Faglia diretta, a tratteggio se presunto e/o sepolto
Sovrascorrimento, a tratteggio se presunto e/o sepolto

Forme poligeniche
Orlo di scarpata

Forme, processi e depositi gravitativi
Orlo di scarpata di degradazione
Necchia di frana di scivolamento
Necchia di frana di colamento
Necchia di frana complessa
Corpo di frana di scivolamento
Corpo di frana di colamento lento
Corpo di frana complessa
Deposito di frana
Piccola frana non fedelmente cartografabile
Corpo di frana di crollo non cartografabile
Soliflusso
Deformazione gravitativa di versante
Area a frangitura diffusa

Forme e processi dovuti alle acque correnti superficiali
Orlo di scarpata di erosione fluviale e torrentizia
Alveo con tendenza all'approfondimento
Solco di erosione concentrata
Area a canali
Conoidi alluvionale
Conoidi colluviale

Forme antropiche e manufatti
Rapporto antropico: rilevato ferroviario e/o stradale
Argine artificiale

Simbologia	Descrizione	Simbologia	Campagna Indagini
[Symbol]	Sondaggio a carteggio continuo non attrezzato	[Symbol]	Campagna geologica 2018-2019
[Symbol]	Sondaggio a carteggio continuo attrezzato con planimetro	[Symbol]	Campagna geologica 2015
[Symbol]	Sondaggio a carteggio continuo attrezzato per sismica in foro	[Symbol]	Campagna geologica 2013
[Symbol]	Pozzetto esplorativo	[Symbol]	
[Symbol]	Prove penetrometriche statiche	[Symbol]	
[Symbol]	Prove penetrometriche dinamiche	[Symbol]	
[Symbol]	Sismica a rifrazione	[Symbol]	
[Symbol]	Geometria	[Symbol]	
[Symbol]	MASW	[Symbol]	
[Symbol]	Geometrica + rifrazione	[Symbol]	
[Symbol]	HVSR	[Symbol]	

Litofacies e schema indagini in profilo

Stato	Litofacies	Stato	Litofacies
[Symbol]	Alternanza argille e arenarie	[Symbol]	Ghiaie e sabbie
[Symbol]	Argilla marnosa	[Symbol]	Limite argille
[Symbol]	Argilla sabbiosa	[Symbol]	Riperto
[Symbol]	Arenaria e Calcarenite	[Symbol]	Sabbie e limi
[Symbol]	Argilla brecciata	[Symbol]	

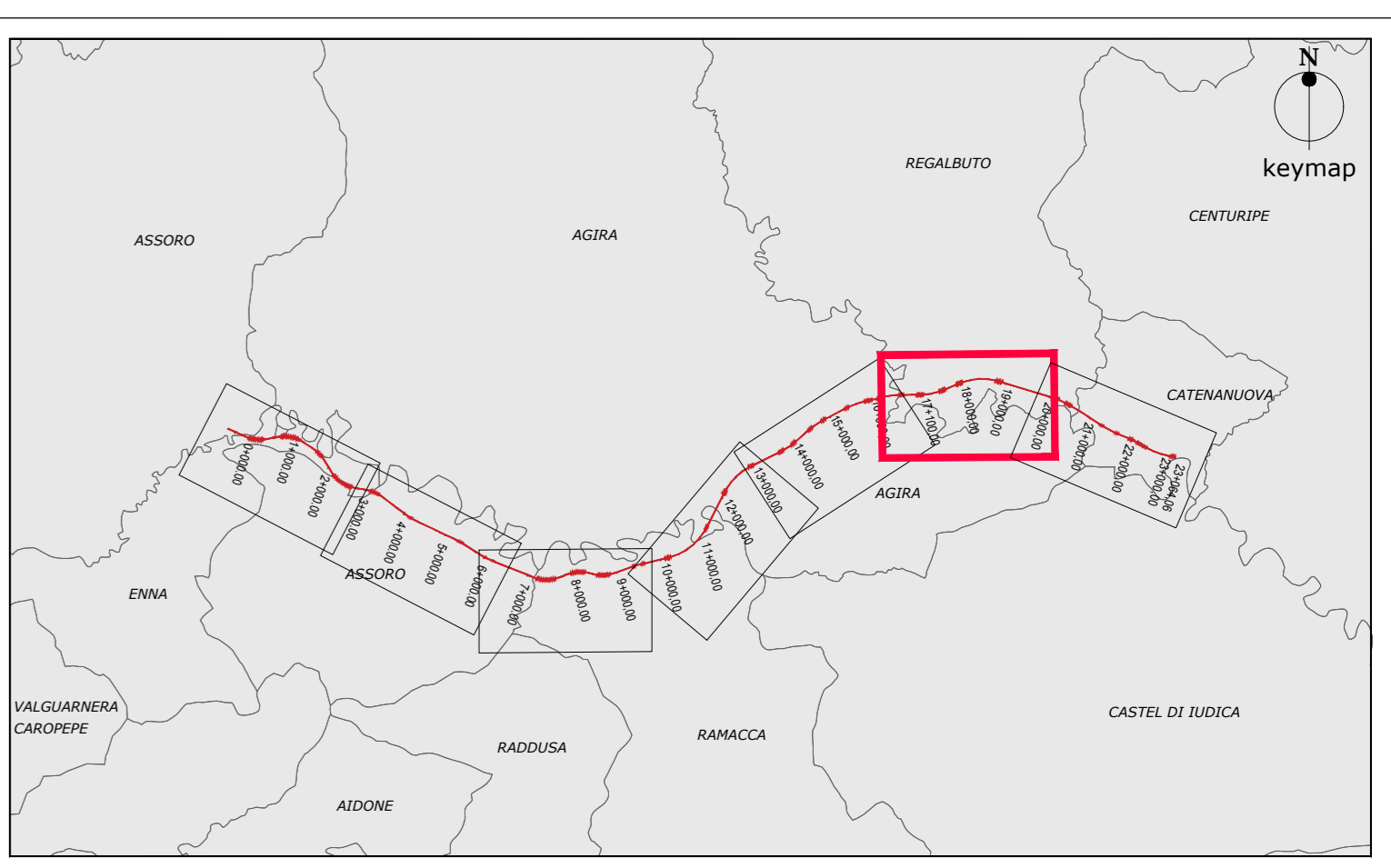
Schema indagini in profilo

Stato: [Symbol] - sigla
[Symbol] - strumentazione
[Symbol] - quota (m s.l.m.)
[Symbol] - distanza tra il punto "a" e il tracciato (m)

Stato: [Symbol] - sigla
[Symbol] - strumentazione
[Symbol] - quota (m s.l.m.)
[Symbol] - distanza tra il punto "b" e il tracciato (m)

Stato: [Symbol] - sigla
[Symbol] - strumentazione
[Symbol] - quota (m s.l.m.)
[Symbol] - distanza tra il punto "c" e il tracciato (m)

PIEZOMETRIA
----- Livello piezometrico, a tratteggio se presunto (elaborato sulle base delle misure massime da novembre 2014 a novembre 2015)



COMMITTENTE: **RFI RETE FERROVIARIA ITALIANA GRUPPO FERROVIE DELLO STATO ITALIANE**

DIRETTRICE FERROVIARIA MESSINA - CATANIA - PALERMO
NUOVO COLLEGAMENTO PALERMO - CATANIA

U.O. GEOLOGIA, GESTIONE TERRE E BONIFICHE

PROGETTO DEFINITIVO
TRATTA DITTAINO - CATENANUOVA (LOTTO 5)
GEOLOGIA, GEOMORFOLOGIA E IDROGEOLOGIA

CARTA GEOLOGICA CON ELEMENTI DI GEOMORFOLOGIA E PROFILO GEOLOGICO
Tav. 6 di 7 del km 17+250.00 al km 20+250.00

SCALA: **1:5000/500**

COMMESSA LOTTO FASE ENTE TIPO DOC. OPERA/DISCIPLINA PROG. REV.

RS3E 50 D 69 N5 GE0001 006 A

Rev.	Descrizione	Redatto	Data	Verificato	Data	Approvato	Data	Autorizzato Data
A	Emissione esecutiva	S. Romano	2019	E. Romano	2019	[Signature]	2019	Finirebbe Martedì 2019

File: RS3E 50 D 69 N5 GE0001 006 A n. Ebb.: 25